

УДК 538.945

## О ВОЗМОЖНОСТИ ПАРНОЙ КОНДЕНСАЦИИ В МОДЕЛИ ХАББАРДА

Р. О. Зайцев

Изучается нефононный механизм сверхпроводимости в модели Хаббарда с бесконечным отталкиванием. Установлены основные микроскопические уравнения с учетом рассеяния на флуктуациях локализованного спина. Получены уравнения типа Лондона для сверхпроводника в слабом магнитном поле. Для температур вблизи точки перехода в нормальное состояние произведен микроскопический расчет коэффициентов уравнения Гинзбурга—Ландау.

Открытие высокотемпературной сверхпроводимости [1, 2] без какого-либо существенного изотопического эффекта [3, 4] указывает на существование нефононных механизмов сверхпроводимости. В данной работе изучается сверхпроводимость электронов, имеющих предельно сильное отталкивание ( $U \rightarrow \infty$ ) в одной и той же элементарной ячейке и конечный интеграл перескока ( $t$ ) в соседнюю ячейку — так называемая модель Хаббарда [5]. При заданном химическом потенциале ( $\mu$ ) соответствующий гамильтониан имеет вид

$$H = \frac{U}{2} \sum_{\mathbf{r}, \sigma} [\hat{n}_{\mathbf{r}, \sigma} \hat{n}_{\mathbf{r}, -\sigma} - \mu \hat{n}_{\mathbf{r}, \sigma}] + \sum'_{\mathbf{r}, \mathbf{r}', \sigma} t(\mathbf{r} - \mathbf{r}') \hat{a}_{\mathbf{r}, \sigma}^{\dagger} \hat{a}_{\mathbf{r}', \sigma}, \quad (1)$$

$$\hat{n}_{\mathbf{r}\sigma} = \hat{a}_{\mathbf{r}\sigma}^{\dagger} \hat{a}_{\mathbf{r}\sigma}.$$

Машинные исследования [6] в частном случае  $1/4$  заполненной зоны ( $n=1/2$ ) указывают на существование максимума двучастичной корреляционной функции при некотором конечном значении отношения  $t/U$ . В диэлектрической фазе при  $t/U < b_c$  этому факту соответствует низкотемпературный переход в антиферромагнитное состояние. Оставляя в стороне проверку этой гипотезы для случая точно наполовину заполненной зоны [7], в настоящей работе рассмотрим сверхпроводимость в недозаполненной зоне ( $n < 1$ ), когда система всегда является металлом, и при  $U = \infty$ , так что нет вопроса о возможности возникновения антиферромагнетизма. В [8] было показано, что при сделанных предположениях температура перехода в сверхпроводящее состояние пропорциональна интегралу перескока и имеет максимум как функция степени недозаполнения  $x=1-n$ . Таким образом, удается качественно правильно объяснить не только отсутствие изотопического эффекта, но также сильную зависимость температуры перехода как от давления, так и от параметра  $x$ .<sup>1</sup>

В разделе 1 настоящей работы выводятся уравнения сверхпроводимости и уточняются результаты [8] с учетом рассеяния возбуждений на статических флуктуациях спиновой и зарядовой плотности. Во втором разделе проведен микроскопический вывод уравнений магнетостатики

<sup>1</sup> Вывод уравнений сверхпроводимости [9], основанный на эффективном гамильтониане Бете—Хьюльена, в пределе  $U = \infty$  дает  $T_c=0$  и приводит для  $n < 0.6$  к конечной температуре перехода, что противоречит экспериментальным данным на  $\text{La}_{2-x}\text{Sr}_x\text{CuO}_4$  [10].

для сверхпроводника в слабом магнитном поле. В третьем разряде определены коэффициенты разложения Гинзбурга—Ландау, а также релаксационный коэффициент в нестационарном уравнении для параметра порядка. В Приложении дается краткое количественное описание термодинамических и кинетических свойств, относящихся к нормальной фазе.

## 1. Общие соотношения

В пределе  $U = \infty$ , когда нет необходимости учитывать переходы в состояния двоичного типа, операторы рождения и уничтожения элементарным образом выражаются через  $X$ -операторы

$$a_{r,\sigma}^+ = X_r^{\sigma, 0}, \quad a_{r,\sigma} = X_r^{0, \sigma}, \quad (2)$$

которые образуют специальную линейную градуированную супералгебру  $Spl(1, 2)$  со следующими перестановочными соотношениями (подробнее см. [11])

$$\left. \begin{aligned} \{X_r^{0,0}, X_r^{\bar{\sigma},0}\} &= X_r^{\bar{\sigma},\sigma} \delta_{r,r'}, \quad \bar{\sigma} = -\sigma, \\ \{X_r^{0,\sigma}, X_r^{\bar{\sigma},0}\} &= (X_r^{0,0} + X_r^{\sigma,\sigma}) \delta_{r,r'}, \\ [X_r^{0,\sigma} \{X_r^{\sigma,0}, X_r^{\bar{\sigma},0}\}] &= 0, \quad [X_r^{0,\sigma} \{X_r^{0,\bar{\sigma}}, X_r^{\bar{\sigma},0}\}] = -X_r^{0,\sigma} \delta_{r,r'}. \end{aligned} \right\} \quad (3)$$

Определим обычным образом одночастичные функции Грина

$$D_{r,r'}(t, t') = - \left\langle \begin{aligned} \hat{T}(X_r^{0+}(t) X_{r'}^{+0}(t')), & \langle \hat{T}(X_r^{0+}(t) X_{r'}^{0-}(t')) \rangle \\ \hat{T}(X_r^{-0}(t) X_{r'}^{+0}(t')), & \langle \hat{T}(X_r^{-0}(t) X_{r'}^{0-}(t')) \rangle \end{aligned} \right\rangle, \quad (4)$$

так что в импульсном представлении им соответствует обратная виртуальная функция Грина

$$G_{\omega}^{-1}(\mathbf{p}) = \begin{pmatrix} (0, +) \\ (-, 0) \end{pmatrix} \left\{ \begin{aligned} & (0, +) & & (-, 0) \\ i\omega - f(0, +) t_{\mathbf{p}} + \mu - \varepsilon_{\omega}^{(+)} t_{\mathbf{p}}, & & & -\tilde{\Delta}_{\omega}^{(+)}(\mathbf{p}), \\ -\tilde{\Delta}_{\omega}^{(-)}(\mathbf{p}), & & i\omega + f(-, 0) t_{\mathbf{p}} - \mu - \varepsilon_{\omega}^{(-)} t_{\mathbf{p}} & \end{aligned} \right\}. \quad (5)$$

Здесь наряду с нормальными собственно-энергетическими частями  $\varepsilon_{\omega}^{(k)}$  выписаны также и аномальные  $\tilde{\Delta}_{\omega}^{(k)}(\mathbf{p})$ , как и в обычной теории сверхпроводимости [12],

$$f(0, \varepsilon) = f(\varepsilon, 0) = \langle X_r^{00} + X_r^{\sigma\sigma} \rangle, \quad \omega = (2n + 1) \pi T.$$

Выразим собственно-энергетические части через точную одночастичную функцию Грина (5), используя для этой цели однопетлевое приближение (см. рисунок). Волнистой линией изображен множитель  $t_{\mathbf{p}} = \sum_{\mathbf{r}}' t(\mathbf{r}) e^{-i\mathbf{p}\mathbf{r}}$ ; корреляторы, обведенные овалом, изображают продольные и поперечные флуктуации спинов

$$\left. \begin{aligned} K_{\parallel} &= \langle \delta \{X^{0\sigma}, X^{\sigma 0}\}_1 \delta \{X^{0\bar{\sigma}}, X^{\bar{\sigma} 0}\}_2, \\ K_{\perp} &= \langle X_1^{+-} X_2^{-+} \rangle, \quad \delta \{X^{0\sigma}, X^{\sigma 0}\}_1 = X_{r_1}^{00} + X_{r_1}^{\sigma\sigma} - \langle (X_{r_1}^{00} + X_{r_1}^{\sigma\sigma}) \rangle. \end{aligned} \right\} \quad (6)$$

В аналитической форме

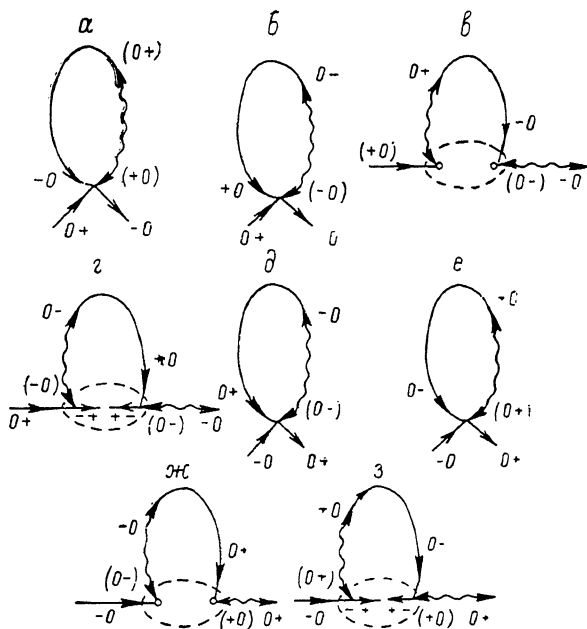
$$\left. \begin{aligned} \tilde{\Delta}_{\omega}^{(+)}(\mathbf{p}) &= \Delta_1 - \sum_{\mathbf{p}'} t_{\mathbf{p}'} G_{\omega}^{0+; -0}(\mathbf{p}') t_{\mathbf{p}} K_{\parallel} - \sum_{\mathbf{p}'} t_{\mathbf{p}'} G_{\omega}^{0-; +0}(\mathbf{p}') t_{\mathbf{p}} K_{\perp}, \\ \tilde{\Delta}_{\omega}^{(-)}(\mathbf{p}) &= \Delta_2 - \sum_{\mathbf{p}'} t_{\mathbf{p}'} G_{\omega}^{-0; 0+}(\mathbf{p}') t_{\mathbf{p}} K_{\parallel} - \sum_{\mathbf{p}'} t_{\mathbf{p}'} G_{\omega}^{+0; 0-}(\mathbf{p}') t_{\mathbf{p}} K_{\perp}, \end{aligned} \right\} \quad (7)$$

$$\left. \begin{aligned} \Delta_1 &= -T \sum_{\omega, \mathbf{p}} t_{\mathbf{p}} G_{\omega}^{0+; -0}(\mathbf{p}) + T \sum_{\omega, \mathbf{p}} t_{\mathbf{p}} G_{\omega}^{0-; +0}(\mathbf{p}), \\ \Delta_2 &= -T \sum_{\omega, \mathbf{p}} t_{\mathbf{p}} G_{\omega}^{-0; 0+}(\mathbf{p}) + T \sum_{\omega, \mathbf{p}} t_{\mathbf{p}} G_{\omega}^{+0; 0-}(\mathbf{p}). \end{aligned} \right\} \quad (8)$$

Второе и третье слагаемые уравнений (7) не содержат суммирования по  $\omega$ , что отвечает выделению статической части корреляторов  $\hat{K}_\perp$  и  $K_\parallel$ . В этом же предположении запишем уравнение для нормальной собственно-энергетической части

$$c_\omega^{(\sigma)} = \sum_p t_p G_\omega^{0\sigma; 0\sigma}(\mathbf{p}) K_\sigma + \sum_p t_p G_\omega^{0\sigma; 0\bar{\sigma}}(\mathbf{p}) K_\perp, \quad (9)$$

$$K_\sigma = \langle \delta \{X^{0\sigma}, X^{c0}\}_1 \delta \{X^{0\sigma}, X^{c0}\}_2 \rangle.$$



Аномальные собственно-энергетические части.

В отсутствие внешнего магнитного поля  $c_\omega^{(+)} = c_\omega^{(-)} = \gamma_\omega$ ,  $\Delta_1 = \Delta_2 = \Delta$ ,  $\tilde{\Delta}_\omega^{(+)}(\mathbf{p}) = \tilde{\Delta}_\omega^{(-)}(\mathbf{p}) = \tilde{\Delta}_\omega(\mathbf{p})$ , так что задача нахождения виртуальной функции Грина сводится к решению трех уравнений

$$\left. \begin{aligned} \lambda_\omega &= K_1 \sum_p t_p G_\omega^{11}(\mathbf{p}), \\ \Delta &= -2T \sum_{\omega, \mathbf{p}} \tilde{\Delta}_\omega(\mathbf{p}) \Phi_\omega(\mathbf{p}), \\ \tilde{\Delta}_\omega(\mathbf{p}) &= \Delta + K_2 \sum_{\mathbf{p}'} \tilde{\Delta}_\omega(\mathbf{p}') t_{\mathbf{p}'} \Phi_\omega(\mathbf{p}') t_{\mathbf{p}}, \end{aligned} \right\} \quad (10)$$

$$\Phi_\omega^{-1} \mathbf{p} = (i\omega - t_\omega t_{\mathbf{p}})^2 - (f t_{\mathbf{p}} - \mu)^2 - \tilde{\Delta}_\omega^2(\mathbf{p}),$$

$$K_1 = K_\perp + K_\sigma, \quad K_2 = K_\perp - K_\parallel, \quad f(0+) = f(0-) = f = 1 - \frac{n}{2}.$$

Полная функция Грина (4) выражается через виртуальную (5) с помощью общего соотношения  $\hat{D} = \hat{G} \hat{K}$ , где  $\hat{K}$  — матрица концевых множителей. В нашем приближении

$$\hat{K}_\omega = - \frac{\partial}{\partial t_{\mathbf{p}}} \hat{G}_\omega^{-1}(\mathbf{p}). \quad (14)$$

Вблизи точки перехода корреляторы  $K_{1,2}$  выражаются через магнитную и диэлектрическую восприимчивости нормальной фазы (см. Приложение), а уравнения (10) допускают линеаризацию по  $\Delta$  и  $\tilde{\Delta}$ .

Разделяя переменные, получим  $\tilde{\Delta}_\omega(p) = \Delta_1 + \Delta_\omega t_p$ , откуда

$$\left. \begin{aligned} \Delta_\omega &= -\Delta_1 K_2 S_\omega^{(1)} / [1 + K_2 S_\omega^{(2)}], \\ \Delta_1 &= 2T \sum_p [\Delta_1 S_\omega^{(1)} + \Delta_\omega S_\omega^{(2)}], \end{aligned} \right\} \quad (12)$$

$$S_\omega^{(k)} = \sum_p t_p^k G_\omega^{(0)}(p) G_\omega^{(0)}(-p),$$

$G_\omega^{(0)}(p)$  — функция Грина нормального металла, определяемая уравнением

$$\left. \begin{aligned} G_\omega^{(0)}(p) &= (i\bar{\omega} - ft_p + \mu)^{-1}, \\ i\bar{\omega} &= i\omega - K_1 \sum_p t_p G_\omega^{(0)}(p). \end{aligned} \right\} \quad (13)$$

Исключив из уравнений (12)  $\Delta_\omega$ , получим условие для нахождения температуры перехода  $T_c$

$$1 = 2T \sum_p S_\omega^{(1)} / [1 + K_2 S_\omega^{(2)}]. \quad (14)$$

Для выделения слагаемых, имеющих особенность на Ферми-поверхности  $\xi_p = ft_p - \mu = 0$ , прибавим и вычтем из (14) соответствующую сумму при  $K_{1,2} = 0$ . В результате разность будет сходиться на  $|\omega| \sim T_c$ ; в оставшемся слагаемом произведем сначала суммирование по частоте, а затем проинтегрируем по  $\xi_p$  с помощью затравочной плотности состояний

$$\left. \begin{aligned} \rho_0(\varepsilon) &= \frac{1}{N} \sum_p \delta(\varepsilon - t_p), \\ g^{-1} &= \int_0^w \text{th} \frac{\xi}{2T} \frac{d\xi}{\xi} + \psi\left(\frac{1}{2}\right) - \psi\left(\frac{1}{2} + \frac{\bar{K}_s}{2\pi T}\right), \quad \psi(x) = \frac{d}{dx} \ln \Gamma(x). \end{aligned} \right\} \quad (15)$$

Здесь  $g = \frac{2}{N} \sum_p t_p \delta(\xi_p)$  играет роль эффективной безразмерной константы взаимодействия,  $\bar{K}_s = (K_1 + K_2) \pi g \mu / 2f$  — среднее обратное время релаксации с переворотом спина.

Верхний предел интегрирования  $w$  имеет порядок ширины затравочной электронной зоны  $w \sim \max t_p$  и должен быть определен из машинных вычислений [13].

Если считать, что  $\bar{K}_s$  есть линейная функция температуры (что следует из Приложения для частного случая прямоугольной плотности состояний), тогда роль спиновых флуктуаций сводится к перенормировке эффективной константы  $g \rightarrow \tilde{g} = g \left[ 1 + g \left[ \psi\left(\frac{1}{2} + \varphi\right) - \psi\left(\frac{1}{2}\right) \right] \right]$ , где

$$\varphi = \bar{K}_s / 2\pi T_c, \quad T_c = \frac{2\gamma}{\pi} w \exp(-1/\tilde{g}). \quad (16)$$

Соотношение (16) сохраняет основные результаты, полученные ранее [8], поскольку учет рассеяния на флуктуациях спина перенормирует, но не обращает в нуль температуру сверхпроводящего перехода. Область существования сверхпроводящего спаривания определяется условием  $g > 0$ , что отвечает максимальному значению  $x_0 = 1 - n_0$ , для которого  $\mu = 0$ .

В предельном случае  $T \ll T_c$  естественно предположить, что корреляторы  $K_{1,2}$  малы, поэтому щель в спектре совпадает со значением  $\Delta_0$ , которое находим из уравнения (8) (при  $T=0$ ),

$$\Delta_0 = \sum_p t_p (\xi_p^2 + \Delta_0^2)^{-1/2} = g \int_0^w \frac{d\xi}{(\xi^2 + \Delta_0^2)^{1/2}}. \quad (17)$$

Сравнение с (16) позволяет получить соотношение, измеряемое на эксперименте

$$\frac{2\Delta_0}{T_c} = \frac{2\pi}{\gamma} \exp \left[ \psi \left( \frac{1}{2} + \tau_c \right) - \psi \left( \frac{1}{2} \right) \right]. \quad (18)$$

При  $\varphi_c = \bar{K}_s / 2\pi T_c$  это отношение всегда больше  $2\pi/\gamma \simeq 3.53 \dots$ . С повышением температуры, когда возрастает интенсивность спиновых флуктуаций, величина щели убывает быстрее, чем  $\Delta$ . Условие обращения щели в нуль находим, как и в теории сверхпроводников с парамагнитными примесями [14]

$$\Delta = \bar{K}_s = (K_1 + K_2) \pi g \mu' 2f, \quad (19)$$

это уравнение всегда имеет решение, так как коррелятор  $K_1 + K_2$  возрастает, а параметр  $\Delta$  убывает с повышением температуры, так что в окрестности точки перехода всегда существует бесщелевая сверхпроводимость.

## 2. Сверхпроводник в слабом магнитном поле

Для вычисления плотности тока в линейном приближении по векторному потенциалу  $\mathbf{A}$  достаточно определить сумму трех слагаемых

$$j_\alpha = \sum_{k=1}^3 Q_{\alpha\beta}^{(k)} A_\beta, \quad (20)$$

$$Q_{\alpha\beta}^{(1)} = \frac{2T}{V} \sum_{\omega, \mathbf{p}} \frac{\partial^2 t}{\partial p_\alpha \partial p_\beta} D_\omega^{11}(\mathbf{p}), \quad (21)$$

$$Q_{\alpha\beta}^{(2)} = \frac{2T}{V} \sum_{\omega, \mathbf{p}} \frac{\partial t}{\partial p_\alpha} \frac{\partial t}{\partial p_\beta} [D_\omega^{11}(\mathbf{p})]^2, \quad (22)$$

$$Q_{\alpha\beta}^{(3)} = \frac{2T}{V} \sum_{\omega, \mathbf{p}} \frac{\partial t}{\partial p_\alpha} \frac{\partial t}{\partial p_\beta} [D_\omega^{12}(\mathbf{p})]^2. \quad (23)$$

Первое и второе слагаемые обобщают обычное выражение для тока на случай произвольной анизотропии. Третье слагаемое определяет дополнительный вклад в сверхпроводящий ток за счет аномальной функции Грина. Используя связь (11) между полной и виртуальной функциями Грина, преобразуем сумму (21) к тому же виду, что и (22), (23). В результате интегрирования по частям происходит полное сокращение нормальной и квадратичной по  $\tilde{\Delta}^2$ ,  $\Delta^2$  и  $\tilde{\Delta}\Delta$  частей.

Окончательно

$$Q_{\alpha\beta} = -\frac{4Te^2}{V} \sum_{\omega, \mathbf{p}} \frac{\partial t}{\partial p_\alpha} \frac{\partial t}{\partial p_\beta} (G_{11}^{-1} G_{12}^{-1} - G_{11}^{-1} G_{12}^{-1}) (G_{22}^{-1} G_{21}^{-1} - G_{22}^{-1} G_{21}^{-1}) \Phi_\omega^2(\mathbf{p}). \quad (24)$$

Здесь  $G_{ik}^{-1} = \frac{\delta}{\delta t_p} (G_{ik}^{-1})$ , функция  $\Phi_\omega(\mathbf{p})$  определена в (10). В выражении (24) суммы по частотам быстро сходятся, так что имеет смысл сразу проинтегрировать вблизи поверхности Ферми. Величины  $i\tilde{\omega} = i\omega - \lambda_\omega t_p$  и  $\tilde{\Delta}_\omega$  вычисляем при  $t_p = \mu/f$ , после чего остается просуммировать по

$$Q_{\alpha\beta} = 2\pi^2 c_{\alpha\beta} T \sum_{\omega} \frac{\tilde{\Delta}^2 + \mu^{-2} (\tilde{\omega} - \tilde{\Delta}_\omega)^2}{(\tilde{\omega}^2 + \tilde{\Delta}^2)^{3/2}}, \quad (25)$$

$$c_{\alpha\beta} = \frac{f}{V} \sum_{\mathbf{p}} \delta(\varepsilon - t_p) \frac{\partial t}{\partial p_\alpha} \frac{\partial t}{\partial p_\beta}, \quad \varepsilon = \mu/f, \quad (26)$$

а уравнения для  $\tilde{\omega}$  и  $\tilde{\Delta}$  совпадают с уравнениями для сверхпроводника с парамагнитными примесями [14]

$$\left. \begin{aligned} i\bar{\omega} &= i\omega + \bar{K}_1 i\bar{\omega} (\bar{\omega}^2 + \bar{\Delta}^2)^{-1/2}, \\ \bar{\Delta} &= \Delta - \bar{K}_2 \bar{\Delta} (\bar{\omega}^2 + \bar{\Delta}^2)^{-1/2}, \\ \bar{K}_{1,2} &= K_{1,2} \pi g \mu / 2f. \end{aligned} \right\} \quad (27)$$

В предельном случае  $T \ll T_c$ , когда  $K_{1,2} \rightarrow 0$ ,  $\bar{\Delta} = \Delta$ ,  $\bar{\omega} = \omega$ , получаем известное соотношение Лондона

$$Q_{\alpha\beta} = 2\pi e^2 \rho_{\alpha\beta} = 4\pi e^2 \mu \bar{\rho} / 3m_{\alpha\beta}. \quad (28)$$

Вблизи точки перехода уравнения (27) разлагаем по степеням  $\bar{\Delta}/\bar{\omega}$ , после чего

$$Q_{\alpha\beta} = \frac{4\Delta^2 e^2 C}{m_{\alpha\beta}} = \frac{6e^2 \Delta^2 C \sum_p \frac{\partial \xi}{\partial p_\alpha} \frac{\partial \xi}{\partial p_\beta} \delta(\xi_p)}{\mu \sum_p \delta(\xi_p)}, \quad (29)$$

$$C = \Gamma \sum_\omega \pi \mu \bar{\rho} / 3 (|\omega| + \bar{K}_1) (|\omega| + \bar{K}_s)^2,$$

$\bar{\rho}$  — электронная плотность состояний на уровне Ферми,  $-\bar{\rho} = \frac{1}{V} \sum_p \delta(\xi_p)$ .

### 3. Уравнения Гинзбурга — Ландау

Для получения уравнений сверхпроводимости в сильном магнитном поле запишем все соотношения при заданном значении суммарного импульса электронной пары  $s$ , а затем, используя принцип градиентной инвариантности, произведем замену  $s \rightarrow \hat{s} - \frac{2e}{c} \mathbf{A}$ . В нашей модели зависимость от суммарного импульса входит не только через электронную функцию Грина, но также и через амплитуду рассеяния  $t_p$  [8]. Так, линеаризованное по  $\Delta$  уравнение имеет тот же вид (14), но с функционалом  $S_\omega^{(k)}$ , зависящим от  $s$

$$\left. \begin{aligned} S_\omega^{(1)}(s) &= \sum_p t_p [G_\omega^{(0)}(p) G_\omega^{(0)}(-p + s) + G_\omega^{(0)}(p + s) G_\omega^{(0)}(-p)], \\ S_\omega^{(2)}(s) &= \sum_p t_{p + \frac{s}{2}} t_{-p + \frac{s}{2}} G_\omega^{(0)}\left(p + \frac{s}{2}\right) G_\omega^{(0)}\left(-p + \frac{s}{2}\right). \end{aligned} \right\} \quad (30)$$

Поскольку электронная функция Грина  $G_\omega^{(0)}(p)$ , определяемая из (13), имеет полюсную особенность, при разложении по степеням  $s$  нет необходимости учитывать производные от амплитуды рассеяния. Учет таких слагаемых приводит к поправкам порядка  $T_c/\omega$ , где  $\omega$  — полуширина затравочной электронной зоны.

В нулевом приближении по  $s$  снова получим соотношение (15). Градиентный член удобно записать, вводя в рассмотрение функцию, определяемую, согласно (26). В результате получим линеаризованную часть уравнений Горькова [15]

$$\left\{ 1 - \sum_p t_p \xi_p^{-1} \text{th}(\xi_p/2T) + g \left[ \psi\left(\frac{1}{2} + \frac{\bar{K}_s}{2\pi T}\right) - \psi\left(\frac{1}{2}\right) \right] + T \sum_\omega \frac{\pi \mu s_\alpha s_\beta \rho_{\alpha\beta} \nu_\omega}{2f (|\omega| + \bar{K}_1) (|\omega| + \bar{K}_s)^2} \right\} \Delta^* = 0. \quad (31)$$

Введем обозначения

$$\frac{1}{m_{\alpha\beta}^{-1}} = 3 \sum_p \frac{\partial \xi}{\partial p_\alpha} \frac{\partial \xi}{\partial p_\beta} \delta(\xi_p) / 2\mu \sum_p \delta(\xi_p), \quad |\psi|^2 = C |\Delta|^2, \quad (32)$$

где  $m_{\alpha\beta}^{-1}$  — обратный тензор электронной массы, вычисленный на уровне Ферми, функция  $C$  определена в (29);  $|\psi|^2$  имеет смысл плотности сверх-

проводящих электронов, так как плотность сверхпроводящего тока (29) через обозначения (32) записывается в естественном виде

$$j_{\alpha} = -2e^2 |\psi|^2 A_{\beta} / m_{\alpha\beta}. \quad (33)$$

Вводя в уравнение (31) тензор эффективной массы (32) и разлагая три первых слагаемых по степеням близости к точке перехода  $(T_c - T) \ll T_c$ , получаем линеаризованную часть уравнений Гинзбурга—Ландау [16]

$$\begin{aligned} \frac{s_{\alpha} s_{\beta}}{2m_{\alpha\beta}} \psi^* + a \psi^* &= 0, \\ a &= \frac{T - T_c}{T_c \eta} \left[ 1 + \frac{\partial (\bar{K}_s / T_c)}{2\pi \partial (\ln T_c)} \psi' \left( \frac{\bar{K}_s}{2\pi T_c} + \frac{1}{2} \right) \right], \\ \eta &= T \sum_{\omega} \frac{\pi \mu}{3 (|\omega| + \bar{K}_1) (|\omega| + \bar{K}_s)^2}. \end{aligned} \quad (34)$$

Нелинейное слагаемое в уравнениях Гинзбурга—Ландау получаем разложением уравнений (10) и (27) по степеням  $\hat{\Delta}/\bar{\omega}$  и  $\Delta/T_c$

$$\hat{L}\Delta = gT \sum_{\omega} \frac{\pi |\Delta|^2 \Delta |\omega|}{2 (|\omega| + \bar{K}_s)^4}.$$

Здесь  $\hat{L}$  — линейный оператор (15) или (34),  $g = 2\mu v_0 \bar{\rho} / f$  — эффективная константа, входящая в определение температуры перехода (16). Отсюда определяем второй коэффициент  $b = -a/C |\Delta|^2$ .

$$b = \frac{\pi T}{2\eta C} \sum_{\omega} \frac{|\omega|}{(|\omega| + \bar{K}_s)^4}. \quad (36)$$

Как уже отмечалось, величина  $\bar{K}_s$  имеет смысл обратного времени релаксации с переворотом спина, которая исчезает только в пределе  $T \ll T_c$ . Как показано в Приложении, при  $T \ll \omega$ ,  $\bar{K}_s$  зависит от температуры в основном по линейному закону. Таким образом, развитая теория совпадает с теорией сверхпроводников с парамагнитными примесями, но с зависящими от температуры временами релаксации с переворотом и без переворота спина. Используя это соображение, удается получить нестационарные уравнения типа Горькова—Элиашберга [17]. Для достижения этой цели достаточно считать величину  $\Delta$  медленно меняющейся во времени (с частотами  $\Omega \ll \{T_c, \bar{K}_s\}$ ). Произведя линеаризацию уравнений самосогласования и разлагая их по малому параметру  $\Omega/T_c$ , находим уравнение для  $\psi$

$$\left. \begin{aligned} R \delta \psi^* + a \psi^* + \frac{s_{\alpha} s_{\beta}}{2m_{\alpha\beta}} \psi^* + b |\psi|^2 \psi^* &= 0, \\ R &= \frac{\pi T}{2\eta} \sum_{\omega} \frac{\hbar}{(|\omega| + \bar{K}_s)^2}, \quad \delta = \frac{\partial}{\partial t} - \frac{2ie}{\hbar} \varphi, \quad s_{\alpha} = i\hbar \nabla_{\alpha} - \frac{2e}{c} A_{\alpha}. \end{aligned} \right\} \quad (37)$$

В бесщелевой области полный ток состоит из двух частей, одна из них сверхпроводящая (25), другая имеет «неравновесное» происхождение и пропорциональна току проводимости нормальной фазы.

В Приложении показано, что проводимость нормальной фазы обратно пропорциональна коррелятору  $K_1$ , который при  $T \ll \omega$  пропорционален температуре. Ясно, однако, что, поскольку эта зависимость имеет чисто корреляционное электрон-электронное происхождение, вопрос о температурной зависимости как проводимости, так и спиновой релаксации требует специального рассмотрения даже вблизи точки перехода в сверхпроводящее состояние. Коэффициенты (29), (35) и (36) выражаются через обратные времена релаксации по импульсу  $\bar{K}_1$  и спину  $\bar{K}_s$ . Первая из этих величин выражается через проводимость. В Приложении показано, что

вблизи  $T_c$  отношение  $\bar{K}_1/\bar{K}_s$  выражается через магнитную проницаемость и статическую диэлектрическую функцию нормального металла.

Можно заметить, что все коэффициенты теории Гинзбурга—Ландау (37) зависят от механизма сверхпроводящего спаривания только неявно, — через  $T_c$ ; остальные коэффициенты выражаются через параметры, относящиеся к нормальной фазе. Аналогичная ситуация сохраняется и при большой, но конечной энергии Хаббарда. Как показано в [8], при этом возникает двухкомпонентный параметр порядка. Однако вблизи точки перехода обе компоненты пропорциональны одной и той же скалярной величине и можно показать, что все физические свойства определяет единственная комбинация, которая по-прежнему удовлетворяет уравнению (37). При этом, согласно [8],

$$g = 8U\mu (U - \mu) \rho_0(\epsilon) / [U(1+x) - 2\mu]^2. \quad (38)$$

Параметр  $\epsilon$  определяем из условия  $\xi^\pm(t_p = \epsilon) = 0$  соответственно для верхней и нижней подзоны Хаббарда (II, 1). Остальные коэффициенты могут быть получены из общих соотношений (29), (32), (37), (II, 13), которые вместе с (38) и (II, 1) и определением химпотенциала (II, 3) полностью решают поставленную задачу.

## ПРИЛОЖЕНИЕ

### ЭЛЕКТРИЧЕСКИЕ И МАГНИТНЫЕ СВОЙСТВА НОРМАЛЬНОЙ ФАЗЫ

Магнитное поле  $H$  расщепляет каждую хаббардовскую подзону на две, в которых размещаются  $n_+$  и  $n_-$  электронов со спином «вдоль» и «против» намагниченности  $M = n_+ - n_-$  (в единицах магнетона Бора). В приближении «Хаббард I» электронные зоны с проекцией спина имеет следующий вид

$$\xi_p^{(\sigma)} = \frac{t_p}{2} + \frac{U}{2} - \sigma H - \mu \pm \frac{1}{2} [(t_p - U^2) + 2Ut_p(n - \sigma M)]^{1/2}. \quad (\text{II}, 1)$$

Вычисление функции Грина в приближении (II, 1) дает возможность выразить средние числа заполнения через вариационную производную

$$n_\sigma = -T \sum_{\omega, p} e^{i\omega\delta} \frac{\delta}{\delta t_p} \ln [(i\omega - \xi_+^{(\sigma)}) (i\omega - \xi_-^{(\sigma)})]. \quad (\text{II}, 2)$$

Производя суммирование по  $\omega = (2n + 1)\pi T$ , получим

$$n_\sigma = -T \sum_{p, k=\pm} \frac{\delta}{\delta t_p} \ln \left[ 1 + e^{-\frac{\xi_k^{(\sigma)}}{T}} \right]. \quad (\text{II}, 3)$$

В качестве простейшего примера рассмотрим случай прямоугольной плотности состояний полуширины  $w$

$$\rho_0(\epsilon) = \frac{1}{N} \sum_p \delta(\epsilon - t_p) = \frac{1}{2w} \theta(w^2 - \epsilon^2). \quad (\text{II}, 4)$$

Произведя интегрирование в соотношении (II, 3), удастся найти явное выражение для магнитного момента, восприимчивости, а также квадрата обратной длины экранирования  $\chi^2 = 4\pi e^2 \frac{\partial n}{\partial \mu} / v_0$ . В интересующем нас пределе  $U = \infty$ , когда можно ограничиться рассмотрением только нижней подзоны, получаем

$$\text{th} \frac{Mw}{2T} = \text{th} \frac{H}{T} \text{th} \left[ \frac{(1-x)w}{2T} \right]. \quad (\text{II}, 5)$$



$$\kappa^2 = \frac{4\pi e^2}{wv_0} \left\{ \operatorname{cth} \left( \frac{xw}{2T} \right) + \frac{1}{2} \operatorname{cth} \left[ \frac{(1-x)w}{2T} \right] \right\}^{-1}, \quad (\text{П, 6})$$

откуда находим магнитную проницаемость

$$\chi(T) = \frac{2}{w} \operatorname{th} \left[ \frac{(1-x)w}{2T} \right]. \quad (\text{П, 7})$$

Искомые корреляторы  $K_{1,2}$  выражаются через электрическую и магнитную проницаемости с помощью следующих соотношений

$$K_1 - K_2 = \frac{Tv_0\kappa^2}{4\pi e^2} = \frac{T}{w} \left\{ \operatorname{cth} \left( \frac{xw}{2T} \right) + \frac{1}{2} \operatorname{cth} \left[ \frac{(1-x)w}{2T} \right] \right\}^{-1}, \quad (\text{П, 8})$$

$$K_1 + K_2 = \frac{3T\chi(T)}{2w} = \frac{3T}{w} \operatorname{th} \left( \frac{w(1-x)}{2T} \right). \quad (\text{П, 9})$$

Вычисление проводимости основано на использовании общей формулы Кубо

$$j_\alpha = -\frac{2Te^2}{V} \sum_{\omega, \mathbf{p}} \left\{ \frac{\partial t}{\partial p_\alpha} \frac{\partial t}{\partial p_\beta} D_\omega(\mathbf{p}) D_{\omega-\Omega}(\mathbf{p}-\mathbf{q}) + \frac{\partial^2 t}{\partial p_\alpha \partial p_\beta} D_\omega(\mathbf{p}) \right\} A_\beta. \quad (\text{П, 10})$$

После аналитического продолжения разложим (П, 10) по степеням  $\Omega$ . В нулевом приближении происходит полное сокращение. В следующем приближении и для случая низких температур, когда можно положить  $\operatorname{ch}^{-2} \left( \frac{\omega}{2T} \right) \approx 4T\delta(\omega)$ , удастся проинтегрировать по внутренней частоте, после чего находим проводимость

$$\sigma_{\alpha\beta} = \frac{2e^2}{V} \sum_{\mathbf{p}} \frac{\partial t}{\partial p_\alpha} \frac{\partial t}{\partial p_\beta} D_+(\mathbf{p}) D_-(\mathbf{p}), \quad (\text{П, 11})$$

$$D_\pm(\mathbf{p}) = \lim_{\omega \rightarrow 0\pm} D_\omega(\mathbf{p}).$$

Подставляя сюда общее выражение для нормальной функции Грина

$$D_\pm(\mathbf{p}) = (f + \lambda_\pm) / (f t_p - \mu + \lambda_\pm t_p)$$

и используя общее определение тензора эффективной массы (32), произведем интегрирование (П, 11) вблизи поверхности Ферми и при  $t_p \approx \mu/f$

$$\sigma_{\alpha\beta} = \frac{4\pi i e^2 \bar{p} (f + \lambda_+) (f + \lambda_-)}{3m_{\alpha\beta} f (\lambda_+ - \lambda_-)}, \quad \bar{p} = \frac{1}{V} \sum_{\mathbf{p}} \delta(\xi_{\mathbf{p}}). \quad (\text{П, 12})$$

Вычисляя мнимую часть  $\lambda_\pm$  в однопетлевом приближении (13), получаем

$$\operatorname{Im} \lambda_\pm = \mp \pi v_0 \bar{p} K_{1\mu} / f,$$

откуда

$$\sigma_{\alpha\beta} = \frac{2\pi e^2 \bar{p}}{3m_{\alpha\beta}} \Phi(\pi v_0 \bar{p} K_{1\mu} / f), \quad (\text{П, 13})$$

$$\Phi(z) = \frac{1+z^2}{z}.$$

В области  $z \ll 1$  проводимость  $\sigma \approx 1/K_1$ , так что, согласно (П, 8) и (П, 9), при  $T \ll w$  сопротивление пропорционально  $T$ .

#### Л и т е р а т у р а

- [1] Bednorz J. G., Muller K. A. Z. Physik B, 1986, Bd B64, N 12, S. 189—193.
- [2] Wu M. K. et al. Phys. Rev. Lett., 1987, vol. 58, N 9, p. 908—910.
- [3] Batlogg B. et al. Phys. Rev. Lett., 1987, vol. 58, N 22, p. 2333—2336.
- [4] Bourne L. C. et al. Phys. Rev. Lett., 1987, vol. 58, N 22, p. 2337—2339.
- [5] Hubbard J. Proc. Roy. Soc., 1964, vol. A281, N 1386, p. 401—419.
- [6] Hirsch J. E. Phys. Rev. Lett., 1985, vol. 54, N 12, p. 1317—1320.

- [7] *Anderson P. W.* Science, 1987, vol. 235, N 4793, p. 1196—1198.
- [8] *Зайцев Р. О., Иванов В. А.* ФТТ, 1987, т. 29, № 8, с. 2554—2556; т. 29, № 10, с. 3111—3119.
- [9] *Фукиyata E., Yosida K.* Jap. J. Appl. Phys., 1987, vol. 26, N 4, part 2, p. L371—373.
- [10] *Шапльгин И. С., Тищенко Э. А.* Письма в ЖЭТФ, 1987, т. 46, (Приложение), с. 152—154.
- [11] *Зайцев Р. О.* ЖЭТФ, 1976, т. 70, № 4, с. 1100—1111.
- [12] *Горьков Л. П.* ЖЭТФ, 1958, т. 34, № 2, с. 735—745.
- [13] *Зайцев Р. О., Иванов В. А.* Письма в ЖЭТФ, 1987, т. 46, (Приложение), с. 140—142.
- [14] *Абрикосов А. А., Горьков Л. П.* ЖЭТФ, 1960, т. 39, № 12, с. 1781—1796.
- [15] *Горьков Л. П.* ЖЭТФ, 1959, т. 36, № 6, с. 1918—1930.
- [16] *Гинзбург В. Л., Ландау Л. Д.* ЖЭТФ, 1950, т. 20, № 4, с. 1064—1056.
- [17] *Горьков Л. П., Элиашберг Г. М.* ЖЭТФ, 1968, т. 54, № 3, с. 612—634.

Поступило в Редакцию  
5 января 1988 г.

---